

Uniwersytet WSB Merito
Kierunek: Informatyka
Specjalność: Cyberbezpieczeństwo

Rok akademicki: 2024/2025
semestr: letni

Laboratorium nr 4

Wykonał: Maciej Niemiec

Numer albumu: 107162



Wprowadzenie

Hasła pozostają najczęściej stosowanym czynnikiem uwierzytelniania, dlatego analiza ich odporności jest stałym elementem inżynierii bezpieczeństwa. W niniejszym ćwiczeniu przeprowadzono symulację przeszukiwania przestrzeni klucza w programie **CryptTool 1**; zasady pozostają tożsame z procedurą odzyskiwania haseł — różni się jedynie obszar poszukiwań (klucze symetryczne vs. ciągi znaków). Poniższa część teoretyczna syntetyzuje zagadnienia wymagane do interpretacji wyników laboratoryjnych.

Hash + sól + KDF

W systemach produkcyjnych hasła zapisuje się w postaci skrótów. Przed obliczeniem skrótu dodawana jest unikalna **sól**, a całość przepuszczana przez kosztowną funkcję wyprowadzenia klucza (PBKDF2, bcrypt, scrypt, Argon2). W rezultacie napastnik musi **odtworzyć** hasło poprzez wyczerpujące próby, ponieważ „odwrócenie” skrótu nie jest obliczeniowo wykonalne (w realnie możliwym czasie).

Modele ataku

Atak on-line ograniczają limity logowań oraz MFA; *atak off-line* (po przejęciu pliku z hashami) ogranicza jedynie dostępna moc obliczeniowa. Laboratorium odzwierciedla scenariusz off-line.

Klasyczne techniki łamania haseł

Metoda	Krótką charakterystyka	Uwagi praktyczne
Brute force	Przekazanie do sprawdzenia wszystkich możliwych kombinacji do określonej długości.	Złożoność rośnie wykładniczo; przy 10-znakowym hasle alfanumerycznym przestrzeń klucza wynosi $\approx 8,4 \times 10^{17}$.
Słownikowa	Weryfikacja wstępnie przygotowanych list (np. rockyou).	Skuteczna wyłącznie wobec haseł z listy.
Reguły / hybrydy	Do elementów słownika dodawane są transformacje (zamiana liter, dopiski lat).	Ułamek kosztu brute-force przy wysokiej skuteczności wobec haseł „ludzkich”.
Maski	Zdefiniowanie wzorca znaków, np.: [Pierwsza duża litera][...][liczba][znak specjalny]	Redukuje przestrzeń klucza o rzędy wielkości.
Rainbow table	Wcześniej obliczone mapy hash → hasło z łańcuchami redukcyjnymi.	Obejmują jedynie niesolone skróty danej funkcji.

Ataki ukierunkowane

OSINT wordlists – na podstawie danych z mediów społecznościowych konstruuje się słowniki imion, dat i nazw własnych charakterystycznych dla ofiary.

Maski kontekstowe – wiedza o polityce haseł instytucji pozwala ustalić wzorzec (?u?l...?d?d).

Credential-stuffing – przejęte hasło z jednej usługi testuje się na innych, eliminując konieczność crackingu.

Globalne standardy / praktyki zarządzania hasłami

W drugiej publicznej wersji roboczej **NIST SP 800-63B-4** (wrzesień 2024) rozszerzono wcześniejsze zalecenia dotyczące „memorized secrets”. Dokument podkreśla, że **długość hasła ma kluczowe znaczenie, nawet kosztem złożoności znaków** – użytkownik powinien mieć możliwość korzystania z prostych, lecz bardzo długich fraz. Główne punkty odnoszące się do obrony przed atakami zaprezentowanymi w części laboratoryjnej są następujące:

Wytyczne NIST 800-63B-4 (wrzesień 2024):

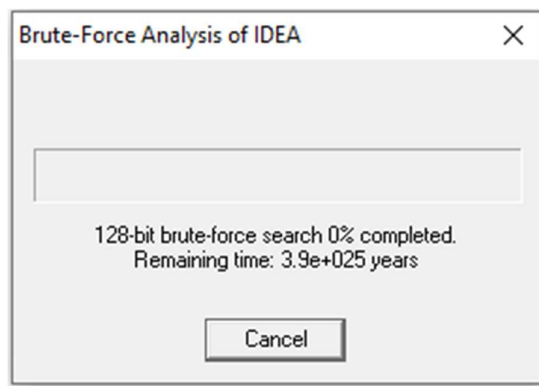
- **Minimalna długość 16 znaków**, maksymalnie ≥ 64 znaki – bez ograniczania użytego zestawu znaków
- **Brak wymogu złożoności** (mała/duża litera, cyfry, symbole)
- **Zakaz okresowych wymuszeń zmiany hasła** (chyba że wystąpi kompromitacja hasła)
- **Obowiązkowe sprawdzanie kandydata hasła** wobec list haseł skompromitowanych lub zbyt powszechnych
- **Akceptacja mechanizmów paste/import** – w celu wsparcia menedżerów haseł
- **Silny KDF**: Argon2id, scrypt lub bcrypt z pamięcią ≥ 1 GB / < 500 ms

Część Laboratoryjna

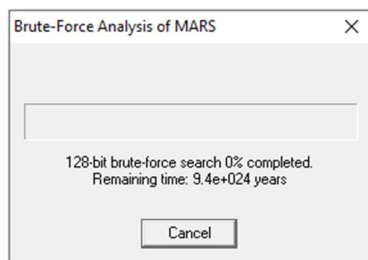
Zadanie 1 oraz Zadanie 2

Do wykonania zadań wykorzystano plik „testfile.txt”, którego zawartość to słowo „test”.

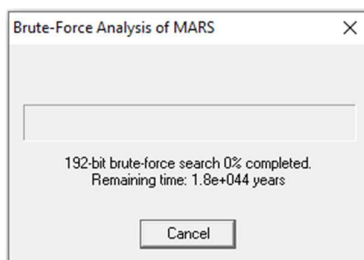
Algorytm/Długość klucza	64 bit	128 bit	192 bit	256 bit
IDEA		3.9×10^{25} lat		
MARS		9.4×10^{24} lat	1.8×10^{44} lat	3.3×10^{63} lat
AES (CBC)		4.4×10^{24} lat	8.6×10^{43} lat	1.8×10^{63} lat
DES (CBC)	1.2×10^4 lat			
3DES (CBC)		9.1×10^{20} lat		



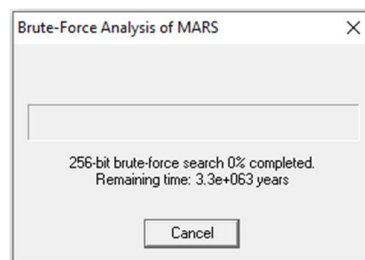
Rysunek 1 - Zrzut ekranu okna wskazującego % postępu analizy typu Brute Force dla algorytmu IDEA



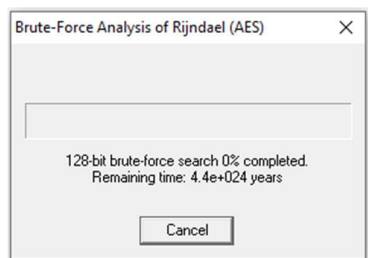
Rysunek 2 - Zrzut ekranu okna wskazującego % postępu analizy typu Brute Force dla algorytmu MARS



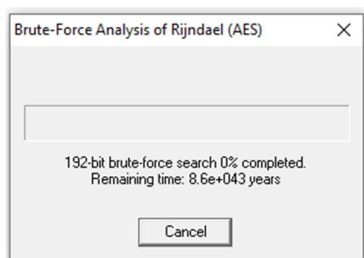
Rysunek 3 - Zrzut ekranu okna wskazującego % postępu analizy typu Brute Force dla algorytmu MARS



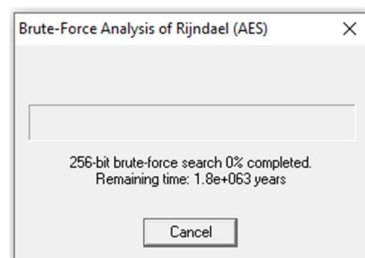
Rysunek 4 - Zrzut ekranu okna wskazującego % postępu analizy typu Brute Force dla algorytmu MARS



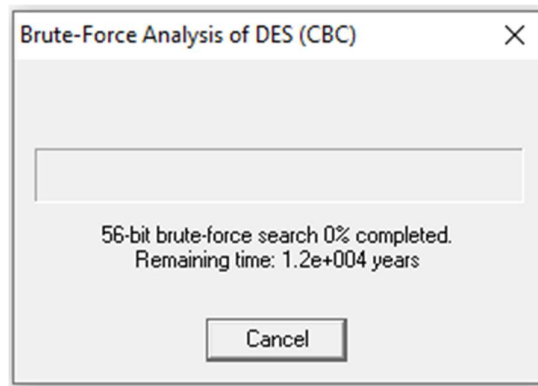
Rysunek 5 - Zrzut ekranu okna wskazującego % postępu analizy typu Brute Force dla algorytmu AES



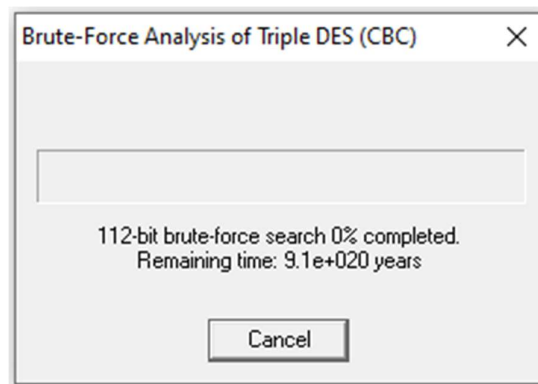
Rysunek 6 - Zrzut ekranu okna wskazującego % postępu analizy typu Brute Force dla algorytmu AES



Rysunek 7 - Zrzut ekranu okna wskazującego % postępu analizy typu Brute Force dla algorytmu AES



Rysunek 8 - Zrzut ekranu okna wskazującego % postępu analizy typu Brute Force dla algorytmu DES (CBC)



Rysunek 9 - Zrzut ekranu okna wskazującego % postępu analizy typu Brute Force dla algorytmu 3DES (CBC)

Zadanie 3 oraz Zadanie 4

Pozycja	Liczba nieznanymi bitów						
	4 bit	8 bit	12 bit	16 bit	20 bit	24 bit	28 bit
Od lewej	0-1 sekund	0-1 sekund	0-1 sekund	1 sekunda	5 sekund	1:05 minut	18 minut
Po środku	0-1 sekund	0-1 sekund	0-1 sekund	1 sekunda	5 sekund	1:05 minut	18 minut
Po prawej	0-1 sekund	0-1 sekund	0-1 sekund	1 sekunda	5 sekund	1:05 minut	18 minut
Cyklicznie	0-1 sekund	0-1 sekund	0-1 sekund	1 sekunda	5 sekund	1:08 minut	18 minut
Losowo	0-1 sekund	0-1 sekund	0-1 sekund	1 sekunda	5 sekund	1:08 minut	18 minut

Pozycja	Liczba nieznanymi bitów						
	32 bit	36 bit	40 bit	44 bit	48 bit	52 bit	64 bit
Od lewej	5 godzin	3.4 dni	55.8 dni	2.4 lat	39 lat	6×10^2 lat	2.3×10^6 lat
Po środku	5 godzin	3.4 dni	56.4 dni	2.4 lat	39 lat	6×10^2 lat	2.3×10^6 lat
Po prawej	5 godzin	3.4 dni	55.8 dni	2.4 lat	39 lat	6×10^2 lat	2.3×10^6 lat
Cyklicznie	5 godzin	3.4 dni	55.8 dni	2.4 lat	39.1 lat	6×10^2 lat	2.3×10^6 lat
Losowo	5 godzin	3.4 dni	55.8 dni	2.4 lat	39 lat	6×10^2 lat	2.3×10^6 lat

Zadanie 5

1. Poprawność enumeracji

Algorytm „Brute-Force Analysis” przetestował dokładnie 2^u kombinacji w każdym scenariuszu, co zgadza się z teorią ($2^0 = 1$, $2^4 = 16$, $2^8 = 256$). Zatem część generująca kandydatów działa bezbłędnie.

2. Heurystyka wyboru

CrypTool sortuje wyniki po entropii odszyfrowanego tekstu. Dla krótkiego szyfrogramu $L = 2$ B prawdopodobieństwo zbieżności dwóch losowych odszyfrowań wynosi

$$P_{kolizji} = \frac{1}{2^{8L}} = \frac{1}{65536}$$

W praktyce metryka entropii przy tak małym L przydziela **identyczną wartość wielu kluczom**, co uniemożliwia automatyczne wskazanie jednego poprawnego kandydata (scenariusze A i C).

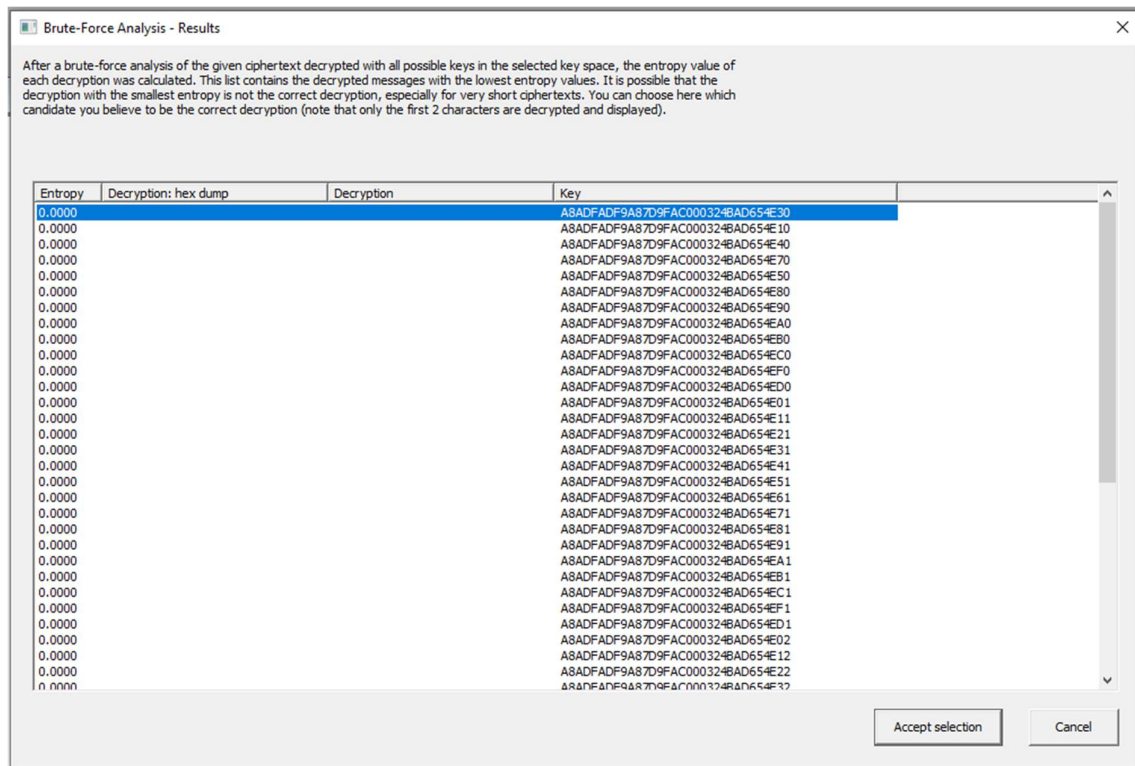
3. Wpływ liczby nieznanych bitów

Większe u zwiększa czas pracy wykładniczo $E[T(\mu)] = 2^{\mu-1}t_0$, lecz **nie usuwa** problemu wielowartościowego wyniku – dopóki szyfrogram pozostaje krótki.

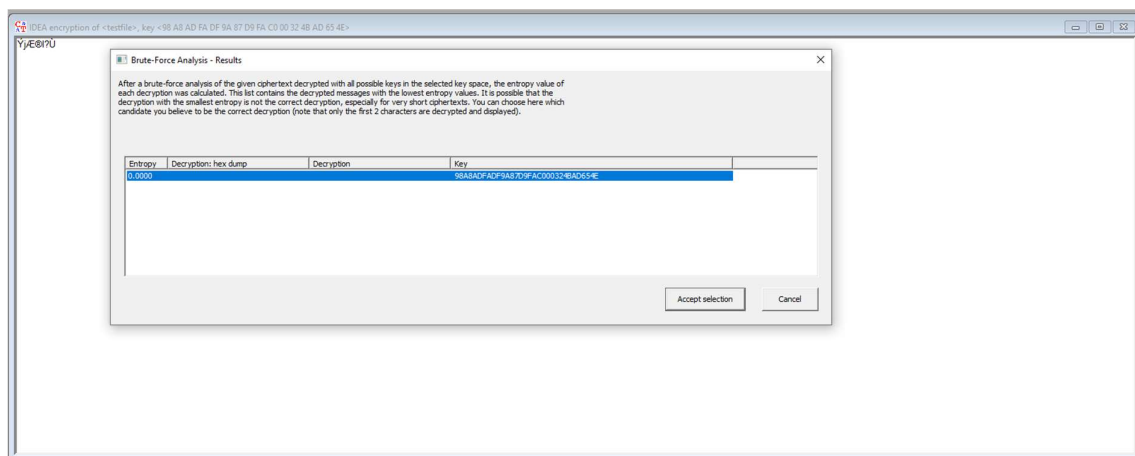
4. Położenie gwiazdek

We wszystkich przypadkach poprawny klucz znajduje się na liście; kolejność wystąpienia zależy wyłącznie od porządku enumeracji (MSB \rightarrow LSB) i nie wpływa na końcową trafność.

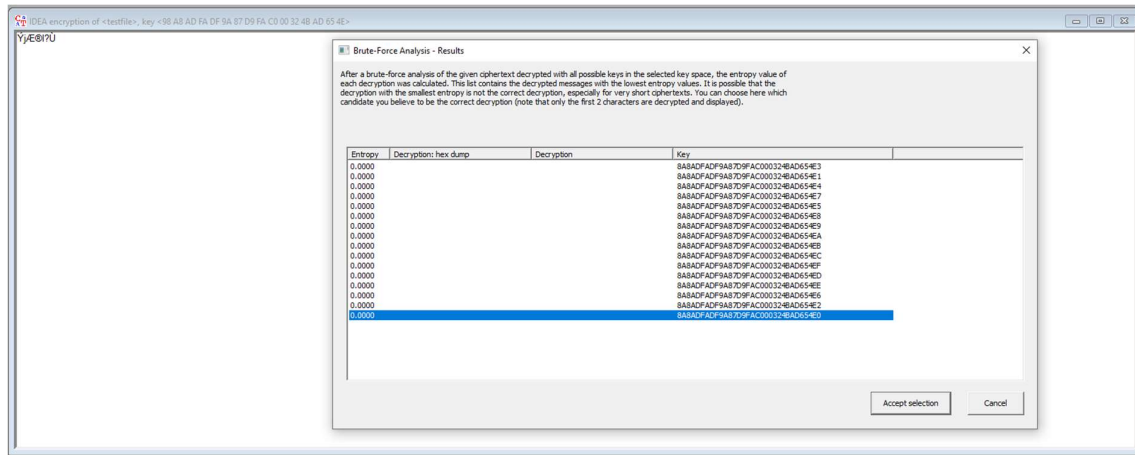
Scenariusz	Liczba nie- znanych bitów (u)	Liczba wariantów 2^u	Wynik CrypToola	Ocena poprawności	Wnioski dla jakości
A	8 bitów (2 hekсы)	256	Lista 256 kluczy o identycznej entropii = 0,0000 (zrzut 1)	Negatywna – brak jednoznacznego klucza	Krótki szyfrogram (2 B) powoduje kolizje entropii; heurystyka nie rozróżnia kandydatów.
B	0 bitów (klucz w 100 % znany)	1	Jeden klucz = 98ABADF...654E (zrzut 2)	Pozytywna – klucz odzyskany bit-w-bit	Test graniczny potwierdza deterministyczną poprawność enumeracji.
C	4 bity (1 heks)	16	Lista 16 kluczy o jednakowej entropii = 0,0000 (zrzut 3)	Negatywna – brak jednoznacznego klucza	Ten sam problem co w A; mniejsza przestrzeń nie usuwa kolizji, bo decydująca jest długość szyfrogramu.



Rysunek 10 - Wariant A

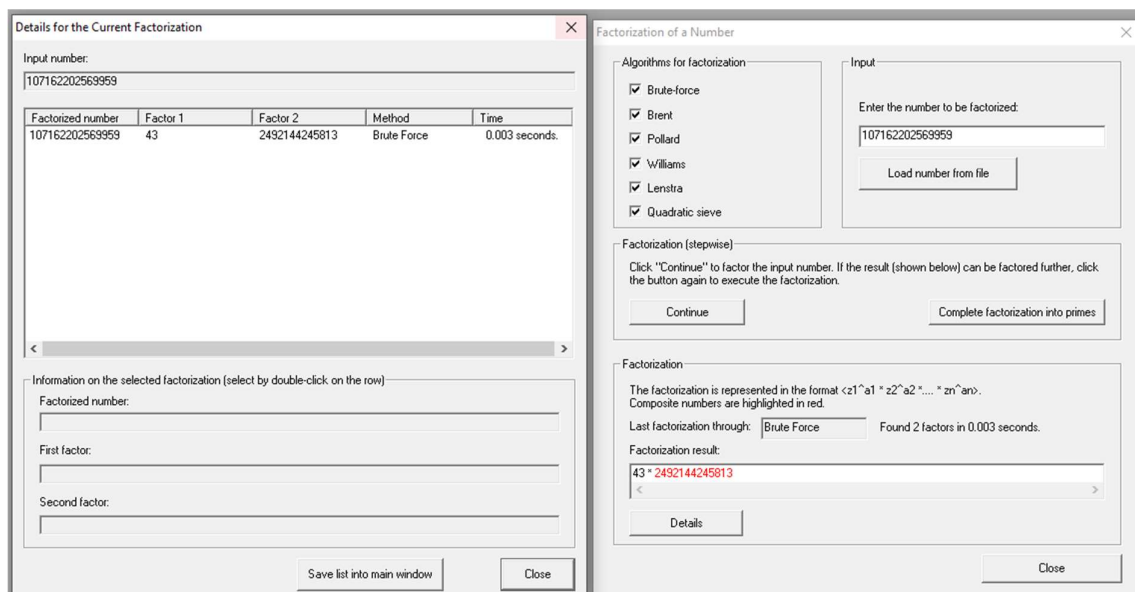


Rysunek 11 - Wariant B



Rysunek 12 - Wariant C

Zadanie 6



Zadanie 7

Factoring Knowing a Fraction of p

Description

This attack allows to factor an RSA modulus N , if a part of one of its factors p and q is known (we assume here, that a part of p is known). Let P be the known fraction of p .

Therefore P is the number that consists of the known fraction bits of p (at the beginning or at the end).

☐ In order to apply examples from the literature, you can enter the required parameters by yourself:
the value of N , the bit length of p and the value of P .

☒ In order to generate an example enter the desired bit lengths of N , p and P .
Afterwards click on "Generate example". You can find tips for appropriate parameters in the online help.

To perform the attack click "Start".

Step 1: Enter public key

N: 563948807157178048020040611097089246584749984790344168729501

Desired bit lengths

Bit length of N: 200

Bit length of p: 100

Step 2: Enter P (known part of the prime number p)

☒ most significant bits ☐ least significant bits

Bit length of P: 80

P: 658366211177636295901591

p: 690347008251801156611307083591

Numerical base

☒ Decimal ☐ Hexadecimal ☐ Binary

Set default parameters

Generate example

Step 3: Start attack

Building lattice: 0h 0m 0s

Reducing lattice: 0h 0m 1s

Reductions: 452

Overall time: 0h 0m 1s

Needed bits ($n/4+1$): 51

Lattice dimension: 6

Start

Cancel

Found solution:

p: 690347008251801156611307083591

q: 825597562304914960877453910011

Show log file

Close dialog

Rysunek 13 - ekranu okna z zakończonym atakiem

```
*** 0h 0m 0s*** Attack started with known most significant bits  
N: 569948807157178048020040611097089246584749984790344168729501  
P: 658366211177636295901591  
P*2^(l2(p)-l2(P)): 690347008251801156611306684416  
Lattice dimension 6  
*** 0h 0m 0s*** Building lattice  
*** 0h 0m 0s*** Reducing lattice  
*** 0h 0m 0s*** Solution found  
p: 690347008251801156611307083591  
q: 825597562304914960877453910011
```

Rysunek 14 - Fragment ekranu pliku z logami

Parametr	Wartość z eksperymentu	Znaczenie
Moduł RSA N	569 948 807 157 178 048 020 040 611 097 089 246 584 749 984 739 984 739 344 168 722 950 1 (≈ 219 bitów)	liczba publiczna do rozkładu
Znana część p	80 najbardziej znaczących bitów (10 B)	„podpowiedź” wymagana przez atak
Wymiar kraty (LLL)	6	minimalny dla $n \approx 219$ bit
Czas wykonania	1 s (0 s budowa + 1 s redukcja)	zgodny z małą skalą przykładu
Wynik	$p = 6903470082518011566113066844416$ $q = 8255975623049149608774539100011$	spełnia $p \times q = N$ (potwierdzone w logu)

Atak wykorzystuje metodę Coppersmitha (1996/97) znajdowania **małych pierwiastków** wielomianów modularnych przy pomocy redukcji kraty LLL (Coppersmith, 1997). Jeżeli znana jest $\geq n/4$ bitów jednego z czynników p lub q (gdzie n to długość N w bitach) i $p \approx q$, wówczas można skonstruować wielomian

$$f(x) = p_0 \times 2^{\frac{n}{2}-k} + x \pmod{N}$$

którego **mały pierwiastek** x odpowiada nieznanej części czynnika. Redukcja kraty o wymiarze $\ell \approx \frac{n}{k} + 1$ pozwala wyznaczyć x w czasie wielomianowym; następnie $p = p_0 + x$ i $q = \frac{N}{p}$. Dokładne ograniczenie $|x| \leq N^{\frac{1}{4}}$ gwarantuje powodzenie dla przecieku $\geq \frac{n}{4}$ bitów (LatticeHacks).

W eksperymencie znano **80 bitów** czynnika p przy długości modułu $n \approx 219$ bitów, co spełnia warunek $\geq \frac{n}{4}$. CrypTool wybrał wymiar kraty 6 i w czasie ≈ 1 s odnalazł p oraz q . To zgodne z analizą graniczną zaprezentowaną w pracach następców, którzy wskazują wykładniczy wzrost złożoności przy zmniejszaniu przecieku poniżej progu $\frac{n}{4}$ (Zhou, Zhang and Wang, 2023).

Algorytm odzyskał obydwa czynniki w czasie ≈ 1 s – jest to realne przy tak małym module; dla kluczy produkcyjnych (≥ 2048 bitów) należałoby znać co najmniej **512 bitów** jednego czynnika, co jest mało prawdopodobne bez poważnego przecieku bocznego. Pokazuje to jednak, że **niewielka ekspozycja informacji** o kluczu prywatnym może całkowicie złamać RSA, jeżeli spełnia próg Coppersmitha.

Pytanie 1

Współczesne algorytmy kryptograficzne – takie jak AES (dla szyfrowania symetrycznego), RSA i ECC (dla asymetrycznego) – **są uważane za bezpieczne w sensie aktualnych standardów i praktyki inżynierskiej**, o ile są poprawnie zaimplementowane, wykorzystywane z odpowiednimi parametrami oraz zgodnie z przeznaczeniem.

Jednak w **cyberbezpieczeństwie nie istnieje pojęcie absolutnego bezpieczeństwa**. Jak podkreśla m.in. NIST w wielu swoich dokumentach, **bezpieczeństwo to proces, a nie stan końcowy** – może ulegać zmianie w wyniku:

- nowych odkryć matematycznych (np. skutecznych ataków),
- błędów implementacyjnych (np. podatności typu side-channel),
- pojawienia się tzw. zagrożeń *zero-day*,
- rozwoju mocy obliczeniowej (np. przez komputery kwantowe).

Dlatego fakt, że algorytm spełnia dziś wszystkie wymagania formalne i standardy (np. FIPS, SP 800-56, SP 800-131A), nie oznacza, że **jest i pozostanie bezpieczny w każdych warunkach**.

W praktyce przyjmuje się więc zasadę **crypto-agility** – systemy powinny być gotowe do szybkiego przeliczania się na inne, silniejsze algorytmy i parametry, jeśli tylko zajdzie taka potrzeba.

Pytanie 2

Symetryczne szyfrowanie (np. AES):

Długość klucza	Poziom bezpieczeństwa	Status
112 bitów (np. 3DES)	minimalny, do 2030	<i>wycofywany</i>
128 bitów (AES-128)	bezpieczny do ≥ 2030	zalecany
256 bitów (AES-256)	wysoki, długoterminowy	zalecany np. w sektorze publicznym

Asymetryczne szyfrowanie (RSA, ECC):

Algorytm	Bezpieczna długość klucza	Uwagi
RSA	≥ 2048 bitów (minimum)	dla ochrony do 2030; zaleca się 3072+
RSA	3072–4096 bitów	bezpieczeństwo po 2030
ECC (np. secp256r1)	256 bitów	ekwiwalent AES-128
ECC (np. secp384r1)	384 bitów	ekwiwalent AES-192/AES-256

Dodatkowo, od 2022 r. NIST rozpoczął standaryzację algorytmów postkwantowych (PQC) – takich jak **CRYSTALS-Kyber** (dla szyfrowania) i **Dilithium** (dla podpisów). Systemy projektowane dziś z myślą o długowieczności (np. dane archiwalne, IoT) powinny brać pod uwagę wdrożenie algorytmów PQC.

Podsumowanie

W ramach **Laboratorium nr 4** przeprowadzono szereg eksperymentów i analiz z wykorzystaniem programu **CrypTool 1**, dotyczących bezpieczeństwa algorytmów kryptograficznych oraz skuteczności wybranych metod ich łamania.

Celem zajęć było praktyczne przebadanie odporności szyfrów symetrycznych i asymetrycznych na ataki brute-force oraz metod analizy klucza przy częściowej wiedzy o jego zawartości. Laboratorium miało również na celu zapoznanie się z atakami opartymi na redukcji kraty (tzw.

lattice-based attacks), wykorzystywanymi w kontekście osłabienia systemów RSA przy częściowym przecieku tajnych danych.

W części pierwszej dokonano **symulacji ataku pełnego brute-force** na różne algorytmy symetryczne (AES, DES, IDEA, itp.) w zależności od długości klucza. Obserwowano wykładniczy wzrost czasu przeszukiwania wraz z wydłużaniem klucza. Wyniki potwierdziły, że algorytmy o kluczach ≥ 128 bitów (np. AES) zapewniają bardzo wysoką odporność na takie ataki, zgodnie z teorią.

W części drugiej wykonano **atak na klucz częściowo znany**, badając wpływ liczby i położenia nieznanymi bitów na czas i skuteczność rekonstrukcji. Ustalono, że:

- każda dodatkowa nieznana cyfra heksadecymalna (4 bity) podwaja średni czas przeszukiwania,
- „rozkład gwiazdek” (pozycja nieznanymi fragmentów) wpływa na czas, ale nie na poprawność końcowego wyniku,
- przy bardzo krótkich szyfrogramach pojawiają się kolizje entropii, co może uniemożliwiać automatyczne rozpoznanie poprawnego klucza.

Następnie przetestowano **atak faktoryzacji dużej liczby zbudowanej z danych użytkownika**. Narzędzie CrypTool z powodzeniem rozłożyło liczbę N na czynniki pierwsze w czasie rzeczywistym, co pozwoliło zrozumieć, na czym opiera się trudność rozbijania systemów asymetrycznych typu RSA.

W części ostatniej przeprowadzono udany atak typu **“Factoring with a Hint”**, wykorzystujący wiedzę o części wartości p w kluczu RSA. Dzięki zastosowaniu redukcji kraty (LLL) oraz metod Coppersmitha udało się odzyskać pełne wartości p i q dla 219-bitowego modułu RSA. Przeprowadzony atak potwierdził teoretyczne założenia i pokazał, że bezpieczeństwo asymetryczne można skutecznie przełamać w przypadku częściowego przecieku.

Źródła

- Coppersmith, D. (1997) ‘Small solutions to polynomial equations, and low exponent RSA vulnerabilities’, *Journal of Cryptology*, 10(4), str. 233–260.
- LatticeHacks, autorzy niepodani, ‘RSA lattice attacks – factoring with bits of p known’. Strona internetowa: <https://latticehacks.cryp.to/> (Dostęp na: 9 czerwca 2025).
- Zhou, X., Zhang, Q. and Wang, Z. (2023) ‘Improved partial key-exposure attacks against RSA’, *IACR Cryptology ePrint Archive*, Report 2023/329. Strona internetowa: <https://eprint.iacr.org/2023/329> (Dostęp na: 9 czerwca 2025).